

岐阜大学 工学部 正美 河村三郎
名城大学理工学部 " 新井宗之

1. はじめに：

土石流に関する研究はおもに、流動のモデルをたて擬似土石流を発生させて、モデルの妥当性を検証して行く方法と、実際の土石流の観測から土石流の特性を明らかにして行く方法の研究がなされて、それらの成果が得られている。ところで、実際の土石流を実験的に発生させることはきわめて困難であり、ほとんど不可能に近い。そこで、土石流がナービア・ストークスの運動方程式を満足するものと仮定して数値計算を行う事を意味のあるものと考えらる。

2. 数値計算について

ナービア・ストークスの方程式をそのままのかたちで解析的に解くことは、現在の所まだできない。そのためこの方程式をなんらかの方法で解く研究がなされて来た。1960年中ごろから、60年末にかけて、F.H. Harlow⁽¹⁾らによて、マーカー・エンド・セルと言ふ方法が発表された。特に、自由表面を持つ流体について有用な方法であると思われる。これは、方程式を有限差分の式にし、流体中にマーカーを配置し、その移動によって流体、特に自由表面を決定して行く方法である。

二次元の直交座標系 x, y 軸をとり、それぞれの速度成分を u, v とするとナービア・ストークスの運動方程式および連続の方程式は次のようである。

$$\frac{\partial u}{\partial t} + \frac{\partial u^2}{\partial x} + \frac{\partial uv}{\partial y} + \frac{\partial \varphi}{\partial x} = \nu \left(\frac{\partial^2 u}{\partial x^2} + \frac{\partial^2 u}{\partial y^2} \right) + g_x \quad (1)$$

$$\frac{\partial v}{\partial t} + \frac{\partial uv}{\partial x} + \frac{\partial v^2}{\partial y} + \frac{\partial \varphi}{\partial y} = \nu \left(\frac{\partial^2 v}{\partial x^2} + \frac{\partial^2 v}{\partial y^2} \right) + g_y \quad (2)$$

$$\frac{\partial u}{\partial x} + \frac{\partial v}{\partial y} = 0 \quad (3)$$

今、考へている領域を x, y 方向についてそれそれ $\Delta x, \Delta y$ に分割した格子をとり、点 (x, y) における u を (x, y) の添字をつけて u_{ij} で表わす。 u, v については $\frac{\partial u}{\partial x}, \frac{\partial v}{\partial y}$ がつづられた格子点上にとると、式(1), (2), (3)はそれそれ

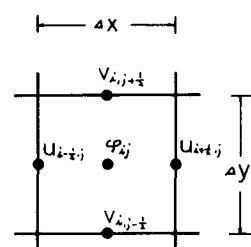


図-1

$$(u_{i+\frac{1}{2},j}^{n+1} - u_{i-\frac{1}{2},j})/\Delta t = (u_{i,j}^2 - u_{i+\frac{1}{2},j})/\Delta x + (u_{i+\frac{1}{2},j-\frac{1}{2}} \cdot u_{i+\frac{1}{2},j+\frac{1}{2}} - u_{i+\frac{1}{2},j+\frac{1}{2}} \cdot u_{i+\frac{1}{2},j+\frac{1}{2}})/\Delta y \\ + \nu \{ (u_{i+\frac{3}{2},j} - 2u_{i+\frac{1}{2},j} + u_{i-\frac{1}{2},j})/\Delta x^2 + (u_{i+\frac{1}{2},j+1} - 2u_{i+\frac{1}{2},j} + u_{i+\frac{1}{2},j-1})/\Delta y^2 \} \\ + (\varphi_{ij} - \varphi_{i,j+1})/\Delta x + g_x \quad (4)$$

$$(v_{i,j+\frac{1}{2}}^{n+1} - v_{i,j-\frac{1}{2}})/\Delta t = (u_{i-\frac{1}{2},j+\frac{1}{2}} \cdot v_{i-\frac{1}{2},j+\frac{1}{2}} - u_{i+\frac{1}{2},j+\frac{1}{2}} \cdot v_{i+\frac{1}{2},j+\frac{1}{2}})/\Delta x + (v_{i,j+\frac{1}{2}}^2 - v_{i,j+\frac{1}{2}})/\Delta y \\ + \nu \{ (v_{i+1,j+\frac{1}{2}} - 2v_{i,j+\frac{1}{2}} + v_{i-1,j+\frac{1}{2}})/\Delta x^2 + (v_{i,j+\frac{3}{2}} - 2v_{i,j+\frac{1}{2}} + v_{i,j-\frac{1}{2}})/\Delta y^2 \} \\ + (\varphi_{ij} - \varphi_{i,j-1})/\Delta y + g_y \quad (5)$$

$$(u_{i+\frac{1}{2},j} - u_{i-\frac{1}{2},j})/\Delta x + (v_{i,j+\frac{1}{2}} - v_{i,j-\frac{1}{2}})/\Delta y = 0 \quad (6)$$

ここに、 $u_{i+\frac{1}{2},j}^{n+1}, v_{i,j+\frac{1}{2}}^{n+1}$ は、時刻 $n \cdot \Delta t$ から、 Δt 後すなむち $(n+1) \cdot \Delta t$ の流速を表わしている。また、
 $u_{i+\frac{1}{2},j+\frac{1}{2}} = (u_{i+\frac{1}{2},j} + u_{i+\frac{1}{2},j+1})/2, \quad u_{i,j} = (u_{i-\frac{1}{2},j} + u_{i+\frac{1}{2},j})/2.$

などを表わす。また、式(1), (2)より φ についてまとめ、有限差分で表わすと、

$$(\varphi_{x+1j} - 2\varphi_{xi} + \varphi_{x-1j})/\Delta x^2 + (\varphi_{xi+1} - 2\varphi_{xi} + \varphi_{xi-1})/\Delta y^2 = -R_{xi} \quad (7)$$

ここに、

$$R_{xi} = Q_{xi} - D_{xi}/\Delta t - \nu \{ (D_{xi+1} - 2D_{xi} + D_{xi-1})/\Delta x^2 + (D_{xi+1} - 2D_{xi} + D_{xi-1})/\Delta y^2 \} \quad (8)$$

$$Q_{xi} = (u_{xi+1}^2 - 2u_{xi}^2 + u_{xi-1}^2)/\Delta x^2 + (v_{xi+1}^2 - 2v_{xi}^2 + v_{xi-1}^2)/\Delta y^2 + 2(u_{xi+\frac{1}{2}, j+\frac{1}{2}} \cdot v_{xi+\frac{1}{2}, j+\frac{1}{2}} - u_{xi-\frac{1}{2}, j+\frac{1}{2}} \cdot v_{xi-\frac{1}{2}, j+\frac{1}{2}})/\Delta x \Delta y \quad (9)$$

$$D_{xi} = (u_{xi+\frac{1}{2}} - u_{xi-\frac{1}{2}})/\Delta x + (v_{xi+\frac{1}{2}} - v_{xi-\frac{1}{2}})/\Delta y \quad (10)$$

ここで、 $D_{xi}^{**} = 0$

境界条件は、境界面の法線方向の速度成分は0であり、境界面で滑動しないものとすると、境界にとなり合う速度成分は、正負逆の値をとる。また、境界面の外側や、自由表面での速度成分は、式(6)によて決められる。

拡幅部について、これらの式を考えると、 $(n+1)\Delta t$ のnのステップを進めて、 $n \rightarrow 1 \ll n$ とすると、流体は拡幅部で堆積することなくほとんど流れきってしまう事になる。したがって、この流体が堆積するためには、流体に少なくとも見かけ上のせん断降伏値 τ_0 があるべきである事を示唆している。また、河床上を流下する場合も、流動状態が τ_0 を超える状態に維持される条件が満たされなければ、流下(発生)しない事も暗示している。

計算結果の一例については講演時に述べる。

3. 実験による拡幅部での水域内堆積について

実験方法は、幅15cm、深さ20~25cm、長さ6mの硬質アクリル製で水路床に実験砂と同じ砂利を付着させ滑動を防止した水路を用い、水路こう配を15°, 20°, 25°, 30°、水路床での初期の堆積厚を2.5, 5.0および7.5cmとし、給水流を $0.5 \times 10^{-3} \sim 1.84 \times 10^{-3} m^3/sec$ で擬似立石流を発生させて行なった。実験では $d_s = 2.25 mm$ のはほぼ一樣粒径である。拡幅の河床は水平である。

堆積した土砂の高さとその水平面上の体積を、ある基準面での体積との比(V/V_t)、及びその基準面から最も高い所までの高さの比(h/H)として、高さと体積を表わすと、それらはほぼべき乗の関係があることを明らかにしたが、これはStrehlerが地形の発達階段を表わすために用いたモデルと基本的には一致している。同じように、図-3に示す α_0 を導入して V/V_t か α_0 における h/H を1と表わすようにすると、

$$h/H = \left[\frac{d_o - V/V_t}{V/V_t} \cdot \frac{\alpha_0}{d_o - \alpha_0} \right]^n \quad (11)$$

$d_o = 1$ であり、 $\alpha_0 = 0.1$ としてまとめると、水路こう配との関係は図-4のようになる。

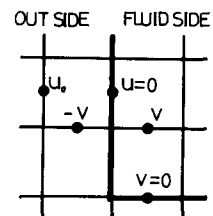


図-2

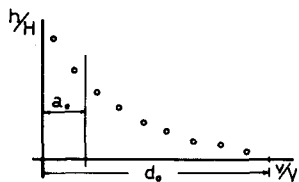


図-3

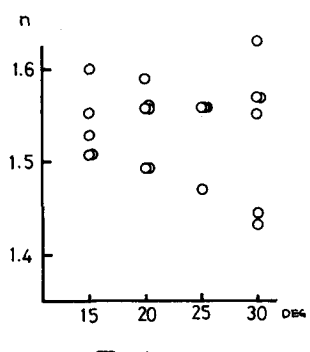


図-4

参考文献

- 1) R.H. Hartnett, J.E. Welch, "Numerical Study of Large-Amplitude Free-Surface Motion," Phys. Fluids 9, 842, (1966)
- 2) C.W. Hirt, "Computer Studies of Time-Dependent Turbulent Flows," Phys. Fluids, Supplement II, II-219, (1969)
- 3) 江村, 青井; 土石流の堆積形状に関する研究, 土木学会誌32年会講演会論文集, pp.432-433